

建設省建築研究所 正員 大岡 弘
 同上 正員 横川 博
 東京工業大学 学生員 畑中栄憲

1. 緒論

筆者らは不揮発試料採取の困難な飽和砂の現位置試料採取法の一つとして地盤凍結法を試みてきた。しかし、この方法には、凍結することによって地盤が体積変化を起こすのではないかという問題点がある。これについてはすでに文献として実験結果一部を報告したが、今回上載圧範囲をさらに大きくし、凍結膨張量計測の信頼性を高めるため試料の高さを2種類にし、さらに、試料の間ゲキ水に3%の塩分を加えて人工海水を作り、凍結膨張量に及ぼすそれらの影響を調べたので報告する。

2. 実験装置と実験方法

実験砂としては、新潟砂、豊浦砂、福城砂（細粒分除去砂）に加えてモデル地盤凍結実験で用いた利根川砂を使った。その物理定数等については文献¹⁾を参照されたい。

図1は実験装置を示している。これは従来の装置を次の二点に改良したものである。1) 鋼製底板にアクリル円筒固定用の深さ6mmの溝をつげたこと。2) 鋼製底板に竹棒固定用のネジ込みを作ったこと。

実験条件としては、試料を最密状態にし、上載圧を0.1kg/cm²まで載荷した。冷却温度についてはモデル地盤凍結実験との条件をそろえるため、-10°C前後に保つ。また凍結膨張に対する容器側壁・摩擦の影響を直接的に調べるために、試料の高さを10cmと5cmの2種類とし、その影響を調べた。更に本凍結法による飽和砂の採取の特徴の一つに埋立地盤があることから、地盤中の間ゲキ水中に塩分が含まれている場合の凍結膨張量と凍結速度について調べた。

3. 実験結果及び考察

図2は上載圧及び砂の種類が凍結完了時膨張量に及ぼす影響を示している。新潟砂と豊浦砂は上載圧が0.1kg/cm²になると膨張量は殆どなくなり、今回新たに加えた利根川砂は新潟砂よりわずかに膨張量が大きい様である。その値は $\sigma_v = 0.1 \text{ kg/cm}^2$ で0.1%弱である。

図3は実験砂の透水係数と間ゲキ比の関係を示したものである。福城砂の間ゲキ比が小さい時の透水係数は他の比較してひとけなく少なくて図中にプロットしている。福城砂の大きな膨張量はこゝから、透水係数のためと考えられるが、しかし、新潟砂と豊浦砂とは、透水係数と膨張量の関係は逆の傾向を示している。凍結に伴う膨張量と透水係数だけで評価しようとするとのは不十分であることを示唆していると思われる。

図4は試料の高さが膨張量に及ぼす影響を示したものである。図から明らかとなる様に、試料の高さが違い(10cmと5cm)による影響は殆どない様であり、簡便的に、アクリル円筒と試料間の摩擦力の影響は無視できることを示してい

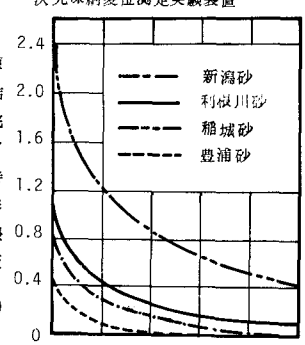
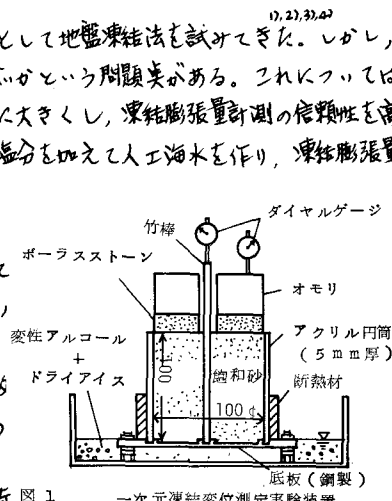


図2 上載圧と砂の種類の凍結膨脹量への影響

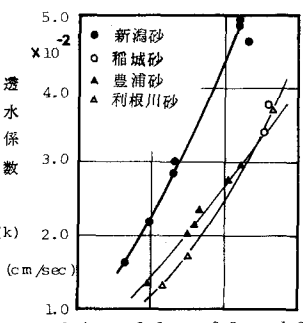


図3 実験砂の透水係数

ると思われる。なお、実験の場合、後に述べる様に、試料の高さが半分になると凍結には要る時間は1/4に短縮され、実験の労が少なくなるが、余り低くすると、凍結の一次元性が失なわれるおそれがある、しかも測定精度が悪くなることから、本実験の場合には5cm程度が最も適であると考えている。

図4は間ゲキ水中の塩分濃度(3%)の凍結膨張量への影響を示したものである。データ数が少ないのではつきりしたことは今後の研究に待すべきであるが、図中の結果が示す所では、上載圧がそれほど小さい時は塩分のないモルten度との値が半分程度であり、上載荷重がかかると塩分のない場合にくらべずかに大きくなる。なま凍結時間に關しては高さがらの試料を見る限り、殆ど差がない様である。

4. 一次元凍結における凍結面の成長速度と理論値と実測値

本実験の様に、一次元的に試料を凍結させる場合、半導體導体に関する一次元の熱伝導としてNeumannの解として知られる解析解がある。これは図6に示す様に、凍結領域と未凍結領域に於いて、それぞれ微分方程式を立て(式(1)と(2))、それに初期条件(式(3))と境界条件(式(4),(5),(6))を代入し、そして凍結面上での熱量移動の平衡(式(7))によって解が得られる。その結果、時刻tに於ける凍結面Xの位置は $X = \alpha \sqrt{t}$ で表わされる。図4中に示す条件で計算すると、 $\alpha = 0.0619$ となり、図中実線が時刻tと凍結厚さの関係を示している。黒丸は実測値で、両者はよく一致している。

5. 結論

1). 試料高さの違い(10cmと5cm)の凍結膨張量に及ぼす影響はない様である。

2). 上載圧が無い場合は、海水を用いた場合の方が膨張量が小さいが、わずかの載荷でその傾向は逆転する。

3). 一次元凍結実験に於いて得られた凍結面成長速度は理論計算値とよく一致している。然しそれが厚さの凍結試料を得るのに必要な凍結時間は計算と精度よく推測でき、さらに理屈実験の場合(1次元と多孔隙の違いはあるが)にも役立つものと思われる。

謝辞 本研究を行なうにあたりて、御指導を賜わ、また見習建築工科教授、及び実験装置に関し多くの労を費わ、なほ技術者建築研究所の森義夫氏に深謝の意を表します。

参考文献

1. 左見・畠中「砂地盤の現位置密度測定」第10回災害科学総合シンポジウム 1973
2. 畠中・大樹「凍結法による飽和砂試料採取の際の凍結の影響について」第11回土質工学研究発表会 1976
3. 畠中・大樹「凍結法による飽和砂試料採取の室内実験」昭和41年度 建築学会秋季大会学術講演便覧集
4. 大樹・大樹「凍結法による飽和砂試料採取の際の凍結管装置に伴う周囲地盤の攪乱範囲」pp.112, 1976

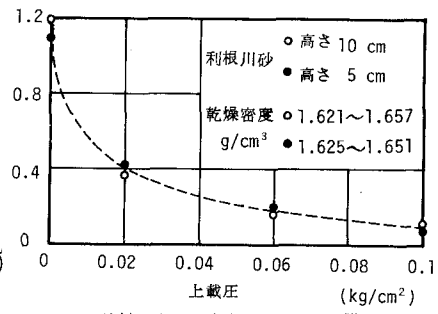


図4 試料の高さの凍結膨脹量への影響

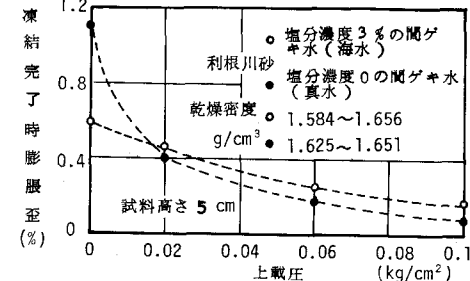


図5 間ゲキ水の塩分濃度の凍結膨脹量への影響

$$\begin{aligned} & \text{凍結完了時膨脹量} \\ & \text{未凍結領域} \quad x=0 \quad \theta_1=\theta_C \quad (4) \\ & \text{冷却面} \quad x=X \quad \theta_1=\theta_2=0 \quad (5) \\ & \text{凍結面} \quad x=\infty \quad \theta_2=\theta_\infty \quad (6) \\ & \left[\frac{\partial \theta_1}{\partial x}, \frac{\partial \theta_2}{\partial x} \right] = L \rho_1 \frac{dx}{dt} \quad (7) \\ & x=X \end{aligned}$$

図6

$$\begin{aligned} & \frac{\partial \theta_1}{\partial t} = K_1 \frac{\partial \theta_1}{\partial x} \quad 0 \leq x \leq X \quad (1) \\ & \frac{\partial \theta_2}{\partial t} = K_2 \frac{\partial \theta_2}{\partial x} \quad X \leq x \leq \infty \quad (2) \\ & t=0 \quad \theta_2=\theta_\infty \quad (3) \end{aligned}$$

添字の1, 2は凍結完了領域と未凍結領域を示す

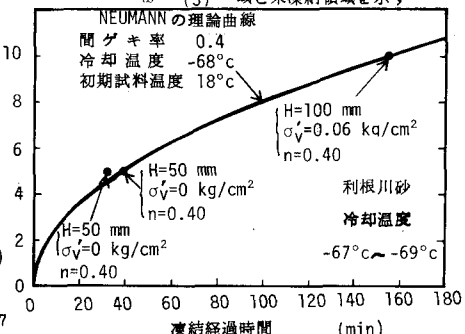


図7